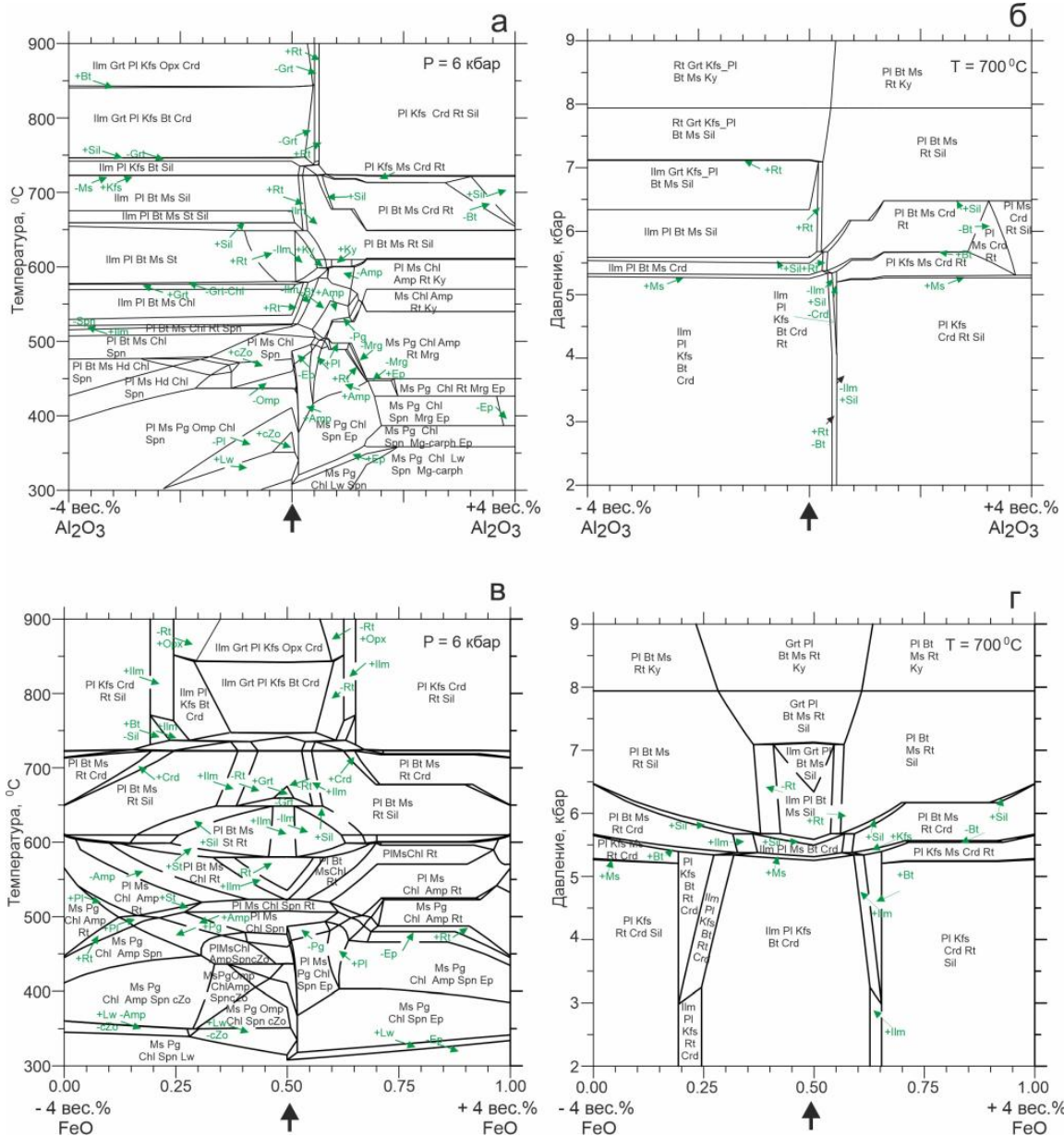
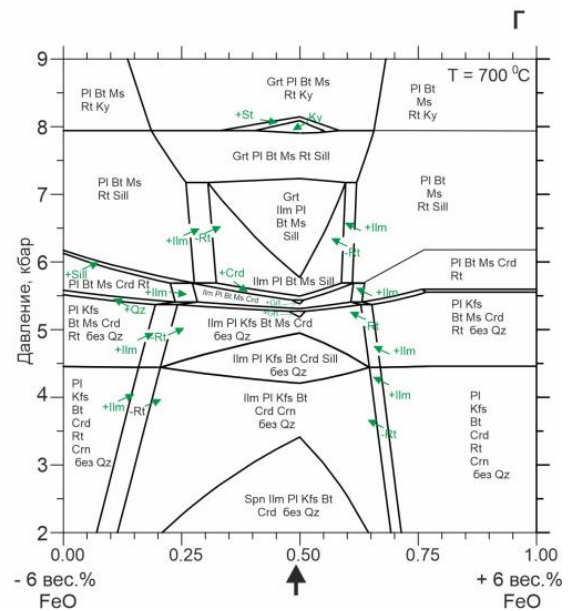
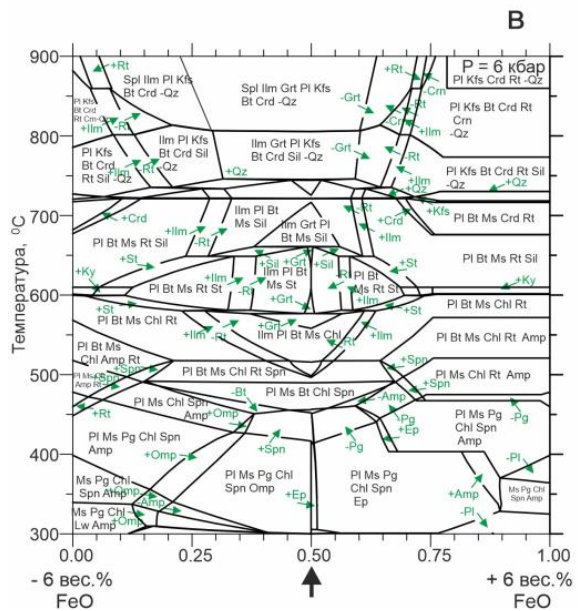
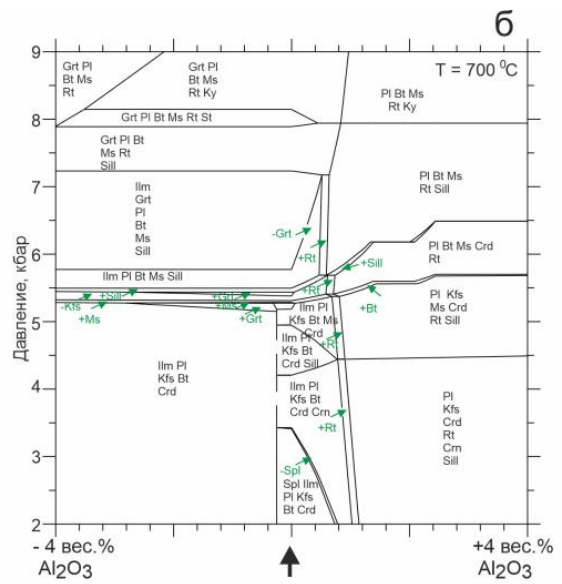
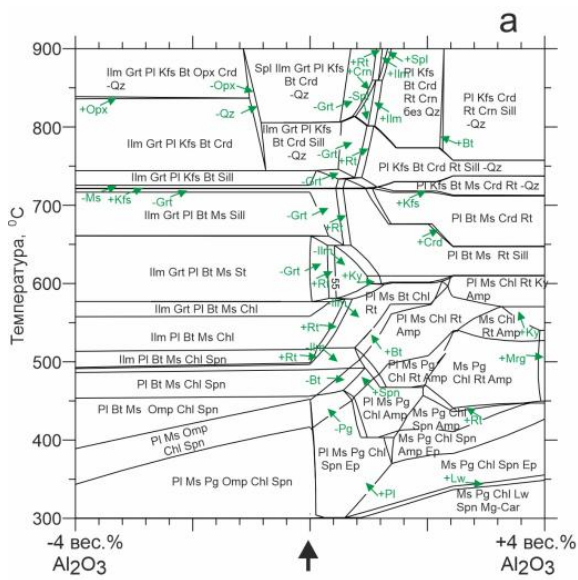


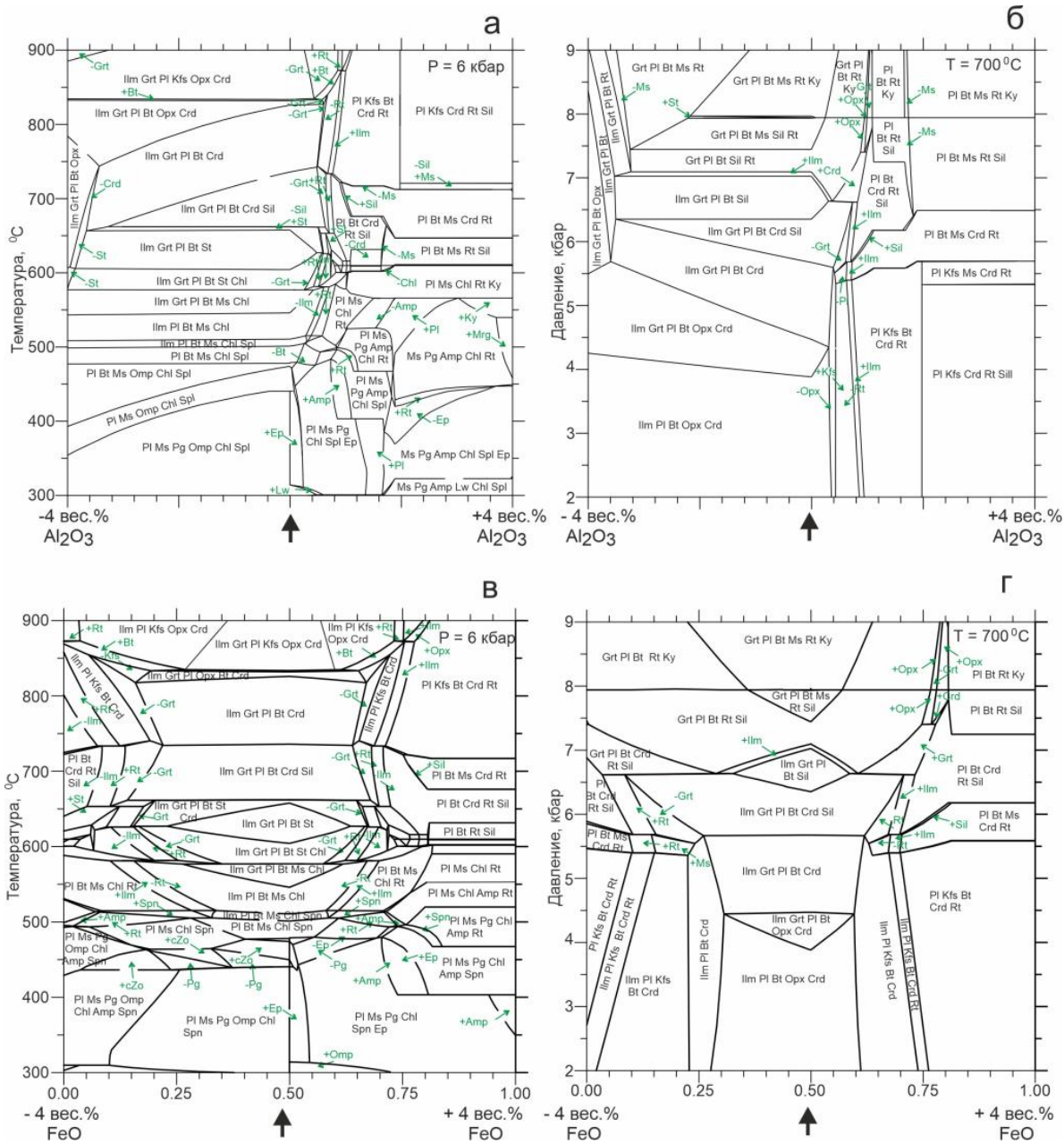
Приложение 2.



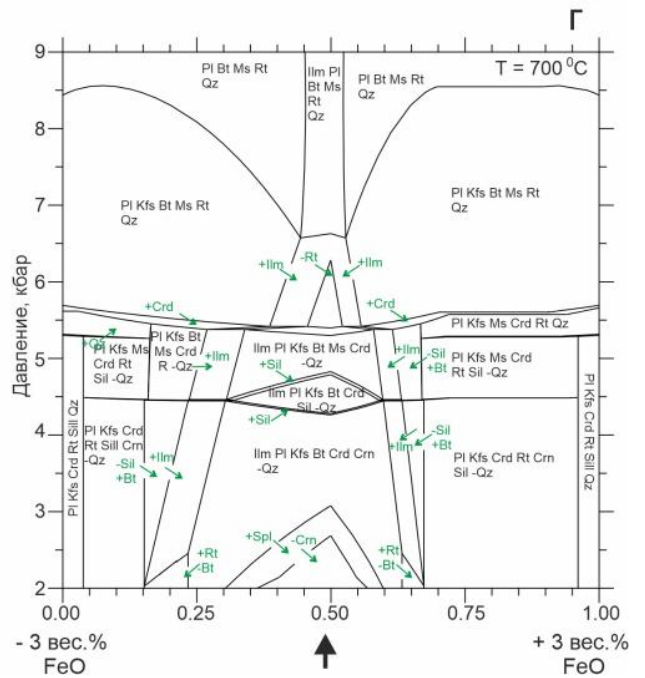
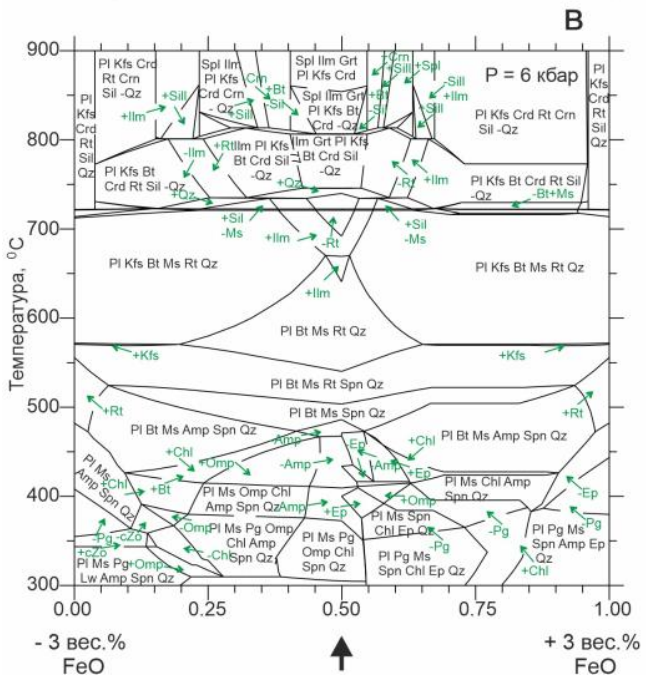
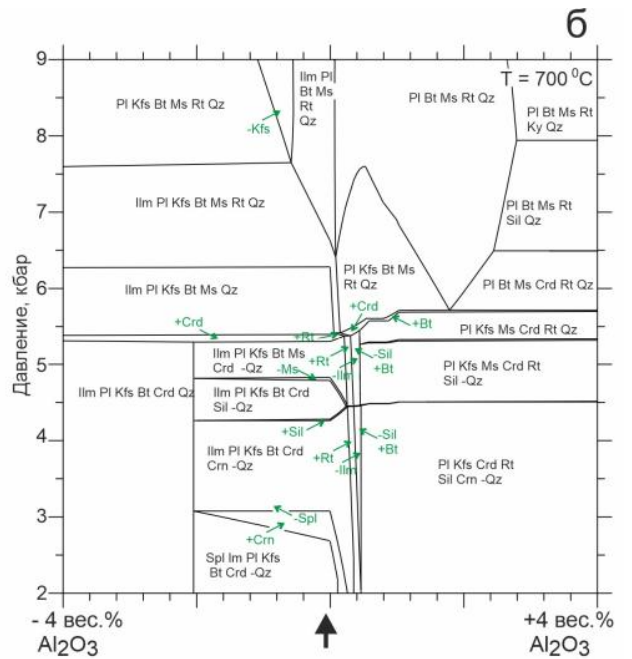
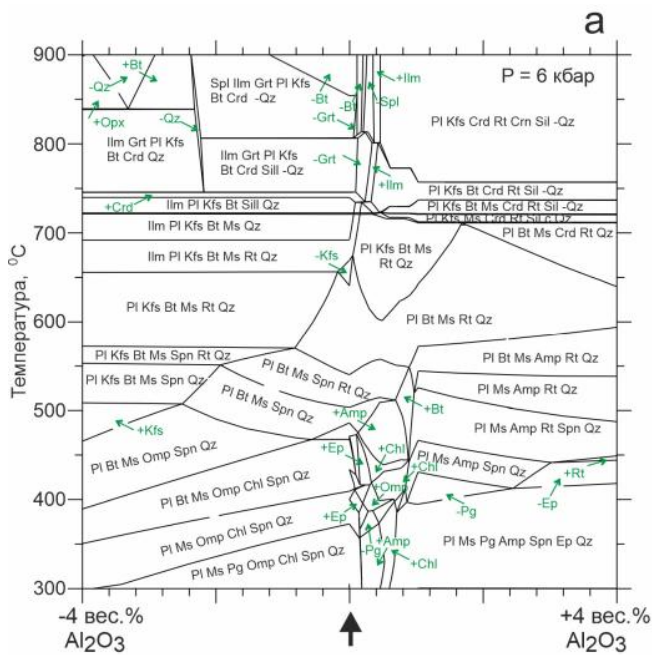
Бинарные диаграммы с расчетными минеральными парагенезисами для базового состава образца 348-4, *Sil-Crd-Bt-Grt* гнейса. а – минеральные парагенезисы при вариации Fe/Mg отношения и температуры при постоянном (6 кбар) давлении; б – аналогично диаграмме «а», но при вариации давления и постоянной (700°C) температуре; в - минеральные парагенезисы при вариации содержания Al_2O_3 и температуры при постоянном (6 кбар) давлении; б – аналогично диаграмме «в», но при вариации давления и постоянной (700°C) температуре. Состав образца 348-4 указан стрелкой на оси абсцисс.



Бинарные диаграммы с расчетными минеральными парагенезисами для базового состава образца 348-8, *Sil-Bt-Crd-Grt* гнейс. Диаграммы а, б, в, г – такие же, как на рис. 4. Состав образца 348-8 указан стрелкой на оси абсцисс.



Бинарные диаграммы с расчетными минеральными парагенезисами для базового состава образца PT32-1, *Sil-Bt-Grt* гнейс. Диаграммы а, б, в, г – такие же, как на рис. 4. Состав образца PT32-1 указан стрелкой на оси абсцисс.



Бинарные диаграммы с расчетными минеральными парагенезисами для базового состава образца 361, *Sil-Crd-Grt-Bt* гнейс. Диаграммы а, б, в, г – такие же, как на рис. 4. Состав образца 361 указан стрелкой на оси абсцисс.